

بررسی عددی تأثیر ترکیب مهارهای کتتری و کششی بر روی پاسخهای حرکتی هیو و پیچ یک سکوی فراساحلی نیمه شناور

فرشید عزیزى^۱، سعید کاظمی^{۲*}، فرهود آذرسینا^۳

^۱ دانشجوی دکتری تخصصی، دانشکده فنی و مهندسی، واحد علوم و تحقیقات، دانشگاه آزاد اسلامی، تهران، ایران، farshid.azizi@srbiau.ac.ir

^۲ استادیار، دانشکده فنی و مهندسی، واحد علوم و تحقیقات، دانشگاه آزاد اسلامی، تهران، ایران، saeid.kazemi@srbiau.ac.ir

^۳ استادیار، دانشکده فنی و مهندسی، واحد علوم و تحقیقات، دانشگاه آزاد اسلامی، تهران، ایران، f.azarsina@srbiau.ac.ir

اطلاعات مقاله

ناریخچه مقاله:

تاریخ دریافت مقاله: ۱۴۰۳/۰۴/۲۳

تاریخ پذیرش مقاله: ۱۴۰۳/۰۶/۰۸

تاریخ انتشار مقاله: ۱۴۰۳/۰۶/۰۸

مهار کتتری - کششی

سکوی نیمه شناور

بهینه سازی پاسخ حرکتی سکو

چکیده

در این مقاله، نقش مهارها در حرکات هیو و پیچ سکوی نیمه‌شناور با توجه به افزایش استفاده روز افزون این سکوها در آب‌های عمیق مورد بررسی قرار می‌گیرد. حرکات نامناسب سکوها می‌تواند باعث عدم پایداری سازه شده و عملکرد آن را مختل کند. جهت آنالیز حرکات سکو، با در نظر گرفتن نقش مهارها، شبیه‌سازی عددی سکوی امیرکبیر با حالت‌های مختلف مهارى بصورت تحلیل غیرخطی در حوزه زمان با استفاده از نرم افزار Orca-flex انجام شده است. با بررسی ۵۲ مدل ترکیب مهارى مختلف در سه مرحله، ۵ مدل ترکیب مهارى از لحاظ پاسخ حرکتی سکوی نیمه‌شناور در هیو و پیچ معرفی شده است. نتایج نشان می‌دهد ترکیب مهارهای یکپارچه کتتری و کششی علاوه بر کاهش کلی طول مهارها باعث رفتار بهینه در حرکات هیو و پیچ سکوی نیمه‌شناور می‌شود.

Numerical Analysis of Catenary and Taut Mooring System Combination Effects on Heave and Pitch Motion Responses of a Semi-submersible Offshore Platform

Farshid Azizi¹, Saeid Kazemi^{2*}, Farhood Azarsina³

¹ Ph.D. student, Department of Engineering, Faculty of Technical and Engineering, Science and Research Branch, Islamic Azad University, Tehran, Iran; farshid.azizi@srbiau.ac.ir

² Assistant Professor, Department of Engineering, Faculty of Technical and Engineering, Science and Research Branch, Islamic Azad University, Tehran, Iran; Saeid.kazemi@srbiau.ac.ir

³ Assistant Professor, Department of Engineering, Faculty of Technical and Engineering, Science and Research Branch, Islamic Azad University, Tehran, Iran; f.azarsina@srbiau.ac.ir

ARTICLE INFO

Article History:

Received: 13 Jul 2024

Accepted: 29 Aug 2024

Available online: 29 Aug 2024

Keywords:

Catenary & Taut mooring

Semi-submersible platform

Optimization platform motion

response

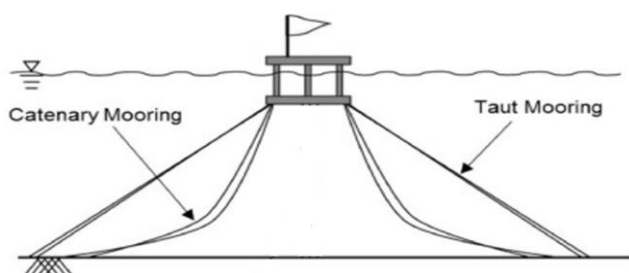
ABSTRACT

In this article, the mooring system effects on the heave and pitch responses of a semi-submersible platform is investigated. Improper movements of the floating offshore platforms can cause instability of the structure and disrupt its performance. In order to analyze the movements of the platform, taking into account the role of moorings, the numerical simulation of Amir-kabir platform with different mooring modes has been performed as a nonlinear analysis in the time domain using Orca-flex software. By examining 52 different mooring models in three stages, 5 mooring models have been introduced in terms of the heave and pitch motion responses of the semi-submersible platform. The results show that the combination of catenary and taut mooring systems with one type of mooring material, in addition to the overall reduction of the length of the moorings, causes optimal behavior in the heave and pitch responses of the semi-submersible platform.

۱ - مقدمه

یافته‌اند. سیستم مهار، جدا از مهار سازه شناور در محل تعیین شده، گردش شناور را برای اطمینان از یکپارچگی و عملکرد تاسیسات حفاری و تولید مانند ریزرهای استخراج، ریزرهای حفاری و مرکزیت آنها محدود می‌کند. سیستم‌های مهار دریایی را می‌توان برای طیف وسیعی از شرایط از یک محیط سخت مانند دریای شمال تا یک محیط ملایم مانند خلیج تایلند یا غرب آفریقا طراحی کرد. آنها همچنین می‌توانند برای محدوده وسیعی از عمق آب از چند متر تا بیش از ۳۰۰۰ متر طراحی شوند.

بسته به پروفیل‌ها و پیکربندی‌ها، سیستم‌های مهار را می‌توان به سیستم‌های مهار کنتری^۷ و سیستم‌های مهار کششی^۸ دسته بندی کرد. همانطور که در شکل ۲ نشان داده شده است، سیستم مهار کنتری دارای یک نیمرخ خط است که بخشی از خط مهار با توجه به وزن خود روی بستر دریا در وضعیت تعادل بصورت ایستا قرار دارد. سیستم مهار کنتری پرکاربردترین سیستم به خصوص در آب‌های کم عمق تا متوسط است.



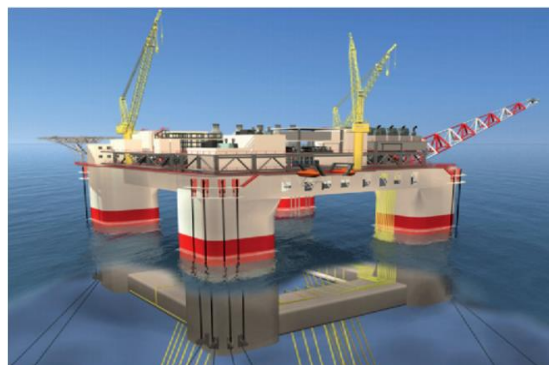
شکل ۲ - انواع سیستم مهار کششی - کنتری [۳].

سیستم مهار کششی هیچ خطی بر روی بستر دریا در وضعیت تعادل و ایستا ندارد و خطوط مهاری از لنگر در بستر دریا تا فیرلید^۹ روی شناور کشیده می‌شود. بنابراین شعاع عملیاتی مهار کوچکتر بوده و از طول کمتری در مقایسه با سیستم مهار کنتری استفاده می‌کند. با این حال، از آنجایی که خطوط بصورت کشیده هستند، انطباق افست شناور و پاسخ‌های دینامیکی سازه بیشتر بر اساس کشش خط است. بنابراین یک سیستم مهار کشیده در آب کم‌عمق ممکن است خیلی سفت باشد و کشش خط را بیش از حد افزایش دهد. این نوع مهار بیشتر برای کاربردهای آب عمیق یا فوق عمیق مناسب است. معمولاً یک سکوی نیمه شناور از ۸، ۱۲ یا ۱۶ خط مهار بصورت برابر در چهار گروه متصل از چهار ستون به بستر دریا استفاده می‌کند [۴].

تحقیقات زیادی در بررسی و بهینه کردن خطوط مهارهای یک سکوی فراساحلی انجام گرفته است. در یکی از این مقالات هرماوان و فولکاو [۵] به بررسی حالت دینامیکی خطوط مهار چند جزئی برای تجزیه و تحلیل حرکت یک سکوی دریایی پرداخت است. این مدل به روش جرم در سه جهت اجازه می‌دهد تا حرکت نقاط اتصال

اقیانوس‌ها و دریاها منابع طبیعی ارزشمندی مانند نفت خام و گاز طبیعی زیر بستر دریا را برای ما فراهم می‌کنند. از آنجایی که اخیراً بسیاری از اکتشافات میداین بزرگ نفت/گاز در خارج از ساحل انجام می‌شود، سازه‌های شناور ساخته شده برای اکتشاف یا استخراج در آب‌های عمیق محبوبیت پیدا کرده‌اند. در طول دهه‌های گذشته، تقاضا برای پلتفرم‌های شناور مانند شناور استخراج و تخلیه^۱ (FPSO)، نیمه‌شناورها^۲، اسپارها^۳ و سکوهایی پایه کششی^۴ (TLP) افزایش یافته است. یک عضو کلیدی برای این سکوهایی شناور، سیستم مهار^۵ می‌باشد. لازمه حیاتی یک سیستم مهار، توانایی آن برای نگهداشتن یک سازه شناور در ایستگاه تحت شرایط محیطی خاص است تا عملیات مختلف مانند حفاری، استخراج، تخلیه و تولید برق (توربین بادی فراساحلی^۶) به طور ایمن انجام شود. طراحی سیستمی برای برآورده ساختن چنین نیازی برای مهندسان مهار کار آسانی نیست، زیرا آنها دائماً با چالش‌هایی در زمینه‌های طراحی، مهندسی، ساخت، نصب، بهره‌برداری، بازرسی، نظارت، نگهداری و تعمیر مواجه هستند [۱].

همان طور که در شکل ۱ نشان داده شده است پلتفرم نیمه‌شناور یک شناور تخصصی است برای حفاری دریایی، استخراج نفت، بلند کردن اجسام سنگین، اسکان یا ترکیبی از این عملکردها طراحی می‌شود. هنگامی که چاه‌های نفت حفر می‌شوند و توسط کشتی‌های حفاری تکمیل می‌شوند، شناورهای استخراج از این نوع (نیمه) به میدان کشیده می‌شوند و به سیستم‌های مهار دائمی متصل می‌شوند. نیمه شناورها سکوهایی پایدار و مقرون به صرفه‌ای هستند. همانطور که توسعه نفت و گاز فراساحلی به سمت آب‌های عمیق‌تر حرکت کرد، استفاده از سکوهایی نیمه‌شناور به دلیل فضای عرشه بزرگ آنها برای قرار دادن تجهیزات بزرگ در بالای سکو و سهولت ادغام بدنه بالا در کنار اسکله به طور فزاینده‌ای محبوب شد.



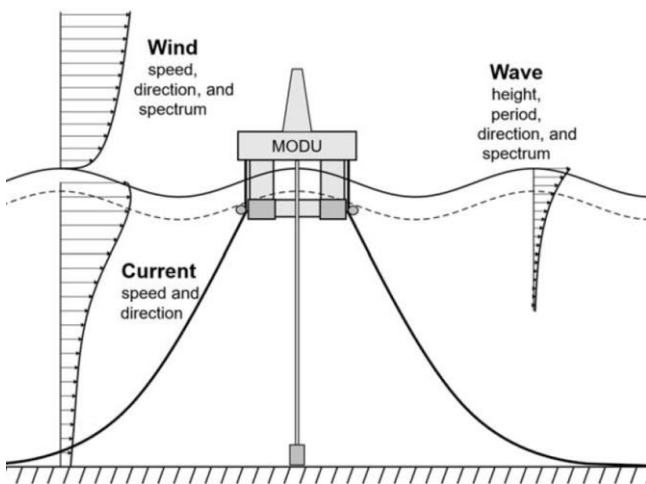
شکل ۱ - سکوی نیمه شناور [۲].

مهارهای دریایی بخش مهمی از سیستم‌های نگهداری شناورها هستند که برای اکتشاف و استخراج منابع نفت و گاز دریایی توسعه

۲- معادلات حاکم

سکوی نیمه شناور، بعنوان یک سازه فرا ساحلی، شامل معادلات هیدرودینامیکی و معادلات سازه‌ای است. این معادلات برای تحلیل رفتار جابجایی و پاسخ سکو در مقابل نیروها و حرکات دریا استفاده می‌شود. برای نیروهای هیدرودینامیکی افقی وارد بر پایه‌های استوانه‌ای سکو در صورتی که طول موج بسیار بیشتر از قطر المانی باشد از معادله موریسون^{۱۲} استفاده شد.

در جایی که طول موج کمتر از پنج برابر قطر باشد، اثرات تفرق در نظر گرفته می‌شود [۸]. یک سازه شناور در آب‌های آزاد بارهای محیطی را به دلیل وجود باد، موج، جریان، یخ و غیره تجربه می‌کند [۹-۱۰]. در شکل ۳ اثر باد، جریان و موج نشان داده شده است. این نیروها مهمترین پارامترهای محیطی هستند که بر روی حرکات سازه شناور تاثیرگذار می‌باشند. سیستم مهار به گونه‌ای طراحی می‌شود که قابلیت کنترل سازه در مقابل نیروهای داخلی و خارجی را داشته باشد.



شکل ۳ - نیروهای باد، موج و جریان بر سکوی شناور [۱].

۲-۱- معادله حرکت سکوی نیمه شناور

معادله حرکت یک جسم شناور شامل سه حرکت دورانی (رول^{۱۳}، پیچ^{۱۴}، یاو^{۱۵}) و سه حرکت انتقالی (سرج^{۱۶}، سوای^{۱۷}، هیو^{۱۸}) در جهات محوره‌های x ، y و z می‌باشد. برای تحلیل و مدل‌سازی حرکت سکوی نیمه‌شناور در خصوص نیروها، معادله حرکتی بصورت زیر تعریف می‌شود:

$$M(p.a) + C(p.v) + K(p) = F(p.v.t) \quad (1)$$

در معادله (۱):

M نیروی اینرسی^{۱۹}

C نیروی دمپینگ^{۲۰}

K نیروی بازگرداننده^{۲۱}

F بردار نیروهای خارجی اعمال شده بر سازه

قطعه (شامل لنگر و وزنه‌ها) را بصورت یکجا در نظر گیرد. سپس با نرم افزار تجزیه و تحلیل پاسخ‌های دینامیکی سه بعدی از یک خط مهار چند جزئی را ارائه می‌دهد. تجزیه و تحلیل حرکت سکوی شناور با خطوط مهار چند جزئی در عملیات واقعی و با در نظر گرفتن بارهای محیطی انجام شده است. تأثیر مدل دینامیکی ارائه شده در ارزیابی پاسخ سکوی شناور و کشش خطوط مهار بررسی و به این نتیجه رسیده است، که این مدل می‌تواند واقع بینانه‌تر حرکت سکوی شناور را نشان دهد. همچنین دریافت که خطوط مهار باید در سه جهت، در نظر گرفته شود زیرا حرکت خط مهار جانبی تأثیر قابل توجهی بر کشش خطوط دارد.

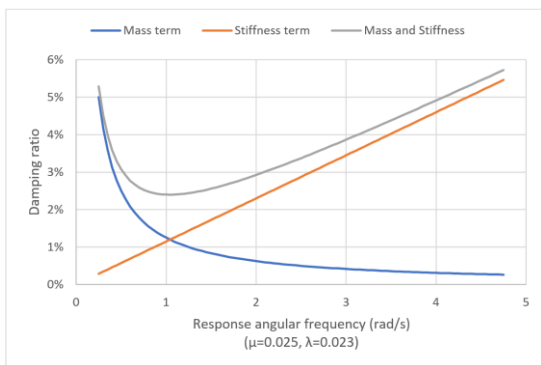
در مطالعه‌ای دیگر فنک و همکاران [۶] یک مدل خطوط مهار متحرک بهمراه ترکیب یک مدل مرزی برای بدنه شناور دو بعدی و یک مدل خطوط مهارکوبلی ساخته و مورد بررسی قرار داده است. مدل مرزی توسط رانکین در دامنه زمان فرموله شده و پتانسیل انعکاس برای بازتاب موج ناشی از شیب بستر دریا معرفی شده است. این مدل تازه توسعه یافته و با مقایسه با داده‌های موجود تأیید شده است. سپس، تجزیه و تحلیل پاسخ دینامیکی در شرایط مختلف بستر دریا انجام شده است. در مقایسه با یک کف صاف، یک بستر شیب دار باعث ایجاد پیکربندی نامتقارن در خطوط مهار می‌شود و اثرات محسوسی را در پاسخ‌های حرکتی بدنه شناور ایجاد می‌کند. در پژوهشی دیگر تروبات و همکاران [۷] به بررسی نیروهای مهار توربین‌های بادی شناور در دریا عمدتاً توسط حرکات سکو از طریق حلقه هدایت پرداخته‌اند. تجزیه و تحلیل‌های دینامیکی معمولاً فقط نیروهای هیدرودینامیکی مهار را با حرکت خطی که با توجه به نیروی موج می‌باشد را در نظر می‌گیرند. با استفاده از مدل FloaWDyn aero-servo-hydro-elastic، تأثیر بارهای هیدرودینامیکی موج بر روی خطوط کنتری و سیستم عامل برای حالت‌های مختلف دریا با و بدون نیروهای موج ارزیابی و با هم مقایسه و شبیه‌سازی شده است. تغییرات تنش‌ها و افزایش انحراف استاندارد برای موارد متعدد تجزیه و تحلیل شده است. گسترش دامنه کشش مهار با افزایش ۵٪، در حالت شدید دریا باعث صدمات در هنگام بارگذاری مهار و مقاومت در برابر خستگی مهار را تحت تأثیر قرار می‌دهد.

امروزه تحقیقات و مطالعات زیادی بر روی مهارهای سکوی دریایی انجام می‌شود. هر یک از محققان جزئیاتی از شرایط محیطی و سکو را برای بهبود حرکتی سکو و عملکرد بهتر مهارها در نظر می‌گیرند. با توجه به توانایی مختص هر مهار، ترکیب دو مهار کنتری و کششی بطور مجزا برای بهبود حرکتی سکوی نیمه‌شناور فراساحلی در این مقاله در نظر گرفته شده است. تا با یک ترکیب مهارهای حرکات سکو را به نحو مناسبی به حداقل ممکن کاهش داد.

برای اثرات میرایی از معادله کلاسیک رایلی^{۲۹} طبق معادله (۳) استفاده شد. میرایی کلاسیک رایلی با ترکیب خطی جرم و سختی متناسب است. در اینجا ماتریس میرایی C برابر است با:

$$C = \mu M + \lambda K \quad (3)$$

که در معادله (۴) M و K به ترتیب جرم و ماتریس سختی و همچنین μ و λ ثابت‌های تناسب هستند. در شکل ۴ تغییر نسبت میرایی با فرکانس نشان داده شده است. این نمودار روشی را نشان می‌دهد که در آن شرایط میرایی جرم و سختی به نسبت میرایی کلی کمک می‌کند.



شکل ۴ - تغییر نسبت میرایی با فرکانس [۱۵].

ثابت‌های میرایی رایلی باید با دقت انتخاب شوند تا از بخش مربوط به جرم در معادله میرایی، که منجر به میرایی بیش از حد پاسخ فرکانس پایین می‌شود، جلوگیری شود. همچنین باید توجه داشت که جرم^{۳۰} مربوطه به دلیل حرکات صلب^{۳۱} بدنه شناور میرایی ایجاد می‌کند. بنابراین میرایی متناسب با جرم معمولاً نادیده گرفته می‌شود. به عبارت دیگر توصیه برای چنین سیستم‌هایی استفاده از میرایی متناسب سختی (منحنی قرمز بالا) است [۱۴].

فرکانس‌های طبیعی و میرایی بحرانی ویژگی‌های ضروری برای حرکت شناور هستند. تشدید زمانی رخ می‌دهد که دوره نیروی تحریک خارجی نزدیک به دوره طبیعی یک سیستم شناور باشد. فرکانس طبیعی f و میرایی بحرانی BC یک سیستم شناور به عنوان توابعی از جرم کل $(M+M_a)$ و سختی K در شش درجه آزادی بصورت زیر تعریف می‌شوند:

$$\text{Natural frequency: } f = \sqrt{\frac{K}{M + M_a}} \quad (4)$$

$$\text{Critical damping: } B_C = 2\sqrt{(M + M_a)K} \quad (5)$$

۲-۵- معادلات حاکم بر خطوط مهار

در شکل ۵ یک عنصر کوچک از خط مهار، در یک صفحه دو بعدی (سیستم مختصات فقط با X و Z) نشان داده شده است. در نمودار

ρ ، v ، a و t به ترتیب بردارهای موقعیت، سرعت، شتاب و زمان هستند.

۲-۲- بار باد

نیروی باد وارد بر سکوی نیمه شناور را می‌توان به صورت زیر محاسبه کرد [۱]:

$$F = \frac{1}{2} \rho V_p^2 C_D A \quad (2)$$

در معادله (۲):

ρ : چگالی هوا

V_p : سرعت باد

C_D : ضریب مقاومت هوایی سطح سکو

A : مساحت بادگیر سطح سکو

۲-۳- بارهای هیدرودینامیکی^{۳۲}

بارهای محیطی وارد بر سازه‌های شناور را می‌توان با توجه به فرکانس امواج متمایز کرد:

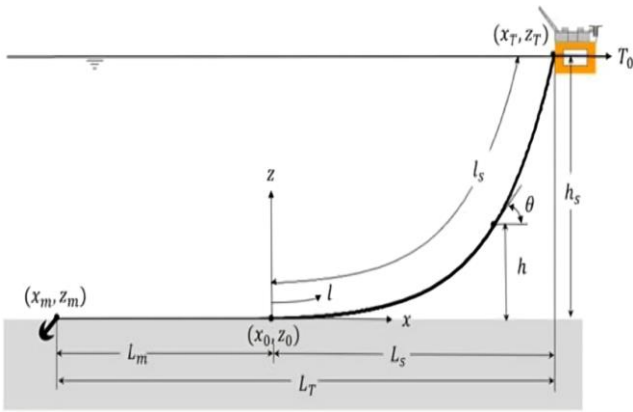
- جریان و نیروهای ناشی از فرکانس موج متوسط که از نظر بزرگی و جهت برای مدت زمان مورد نظر ثابت هستند و باعث رانش موج می‌شوند. بارهای ثابت، سازه شناور را به سمتی سوق می‌دهند که توسط نیروی بازبایی مهار متوازن می‌شود [۱].

- بارهای ناشی از موج^{۳۳} (WF) با دوره‌های معمولی از ۵ تا ۳۰ ثانیه. این بارها، تنش‌های چرخه‌ای در سازه ایجاد می‌کنند و باعث حداکثر کشش خطوط مهار و تجمع آسیب خستگی در خطوط مهار می‌شود. در برخی موقعیت‌ها، لنگرها و ریزرها میرایی اضافی در حرکات شناور (مانند حرکت سرج، سوآی و رول) ایجاد می‌کنند [۱۱].

- بارهای ناشی از موج فرکانس پایین^{۳۴} (LF)، مانند حرکت دریافت آهسته ناشی از امواج، باد یا حرکت ناشی از رانشگرهای شناور یا سیستم مهار که معمولاً در بازه زمانی ۱۸۰ تا ۶۰۰ ثانیه می‌باشد، تأثیرگذار است [۱۲].

بیشترین بار موج بر روی سازه‌های دریایی در همان فرکانس امواج رخ داده و باعث حرکت سازه شناور در فرکانس موج می‌شود. برای جلوگیری از اثرات تشدید بزرگ، سازه‌های دریایی و سیستم‌های مهار آنها اغلب به گونه‌ای طراحی می‌شوند که فرکانس‌های تشدید^{۳۵} به خوبی خارج از محدوده فرکانس طبیعی^{۳۶} سازه قرار گیرد. بارهای ناشی از امواج می‌توانند باعث پاسخ الاستیک^{۳۷} با فرکانس بالا شده و به دلیل اثرات بار غیرخطی^{۳۸}، برخی از پاسخ‌ها همیشه در فرکانس‌های طبیعی ظاهر می‌شوند [۱۳].

۲-۴- میرایی



شکل ۶ - مشخصات هندسی خط کتتری [۱].

برای سادگی محاسبات، اجزای مهار را غیر الاستیک در نظر می-گیریم، یعنی فرض می-کنیم برای یک خط مهار کتتری از یک جنس واحد $AE=\infty$ در نظر گرفته شده و خواهیم داشت:

$$dT - P \sin\theta dl = 0 \quad (۶)$$

$$T d\theta - p \cos\theta dl = 0 \quad (۷)$$

با در نظر گرفتن شرایط مرزی در بستر دریا، برای معادلات بالا، معادلات زیر بدست می-آید:

$$l(x) = \frac{T_0}{P} \sinh\left(\frac{P}{T_0} x\right) \quad (۸)$$

$$h(x) = \frac{T_0}{P} \cosh\left(\frac{P}{T_0} x\right) - \frac{T_0}{p} \quad (۹)$$

بر اساس معادلات (۸) و (۹) با توجه به کشش افقی T_0 ، می-توان مشخصات خط مهار را ترسیم کرد. در بخش معلق که $0 < l < l_s$ داریم:

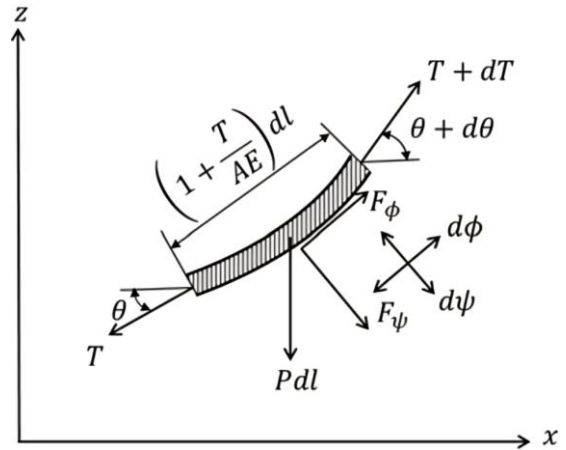
$$l = \sqrt{h \left(h + 2 \frac{T_0}{P} \right)} \quad (۱۰)$$

برای محاسبه تنش در طول این بخش از رابطه زیر استفاده می-شود.

$$T(l) = T_0 + P h \quad (۱۱)$$

برای یک خط مهار کتتری زنجیری، معادله (۱۱) به این معنی است که کشش زنجیر ایستا در فیرلید به صورت خطی با نیروی محیطی افزایش می-یابد، و برابر با جمع نیروی افقی و وزن زنجیر غوطه-ور است. برای مهار کششی بدون در نظر گرفتن ظرفیت عمودی، برآورد حداقل طول خط برای جلوگیری از نیروی بالا-برنده بسیار مهم است، که می-تواند از رابطه زیر بین طول l و کشش کل T بدست آید.

بدنه آزاد شکل زیر، P وزن مرطوب در واحد طول، T کشش موثر، dl طول، AE سختی محوری، $d\psi$ نشان دهنده جابجایی در جهت عادی خط مهار و $d\phi$ تغییر مکان در جهت مماسی خط مهار می-باشد.



شکل ۵ - نیرو و جابجایی روی یک عنصر از خط مهار [۱].

در طراحی خطوط مهار فرض بر این است که شرایط خمش خط و سختی پیچشی ناچیز است و می-توان از آنها صرف نظر کرد [۱۵]. این یک فرض معقول برای زنجیر و همچنین برای طناب سیمی یا پلی استر^{۳۲} با شعاع انحنای زیاد است و به خوبی توسط صنعت پذیرفته شده است. تاثیر نیروهای هیدرودینامیکی F_ϕ و F_ψ بر روی مهار از طریق معادله موريسون محاسبه می-شود. معادلات دیفرانسیل حاکم برای محاسبه نیروهای وارد بر خطوط مهار با در نظر گرفتن نیروهای دینامیکی و الاستیک^{۳۳} خط مهار خواهد بود. این معادلات غیرخطی هستند و برای حل دقیق آنها نیاز به شبیه-سازی عددی است [۱۶-۱۷].

۱-۵-۲- معادلات استاتیکی مهار

معادلات استاتیکی مهار اولین بار توسط لایبنیتس، هویگنس و برنولی در سال ۱۶۹۱ ثبت شد [۱۸]. حل معادله کتتری شکل مختصری از تابع کسینوس هذلولی^{۳۴} دارد. در محاسبات مربوط به بارهای دینامیکی روی خط مهار، نیروهای میرایی و اینرسی^{۳۵} به دلیل کوچک بودن نادیده گرفته می-شوند. فرض می-شود که میانگین نیروی محیطی افقی ناشی از باد، موج و جریان که بر روی خط مهار در نقطه اتصال آن وارد می-شود، T_0 باشد. مبدأ قاب مرجع (x, z) در نقطه تماس خط با بستر دریا (x_0, z_0) است، همانطور که در شکل ۶ نشان داده شده شیب خط مهار برابر صفر است. در اینجا l_s طول معلق مهار (طول قوس)، l_T طول کل خط مهار و h فاصله عمودی مهار از نقطه شروع تا بستر دریا می-باشد.

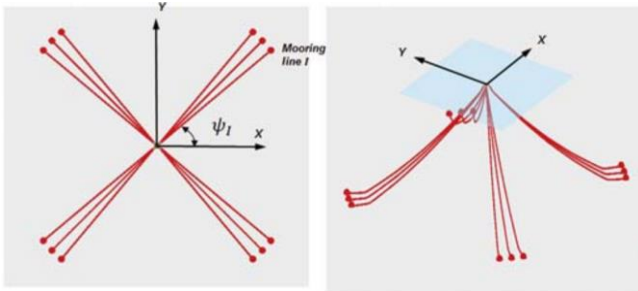
شکل ۷ - تصویری از یک تحلیل دینامیکی برای یک خط مهار کنتری.

$$l = h \sqrt{\left(2 \frac{T}{Ph} - 1\right)} \quad (12)$$

با در نظر گرفتن معادلات (۱۰) و (۱۱)، راه مناسب برای مهار نیروها استفاده از خطوط کنتری با آلیاژ غیرکشسان می‌باشد. در ادامه با در نظر گرفتن کشسانی الاستیک می‌توان راه‌حل‌های شبه استاتیکی برای خطوط کنتری چند آلیاژی بدست آورد [۱۹-۲۰].

۴-۵-۲- طراحی کلی سیستم مهار

یک سیستم مهار مطابق شکل ۸ با خطوط متعدد به سازه نیمه شناور متصل می‌شود.



شکل ۸ - سیستم مهار با خطوط متعدد [۱].

حرکت ساختار شناور را می‌توان به صورت معادله حرکات در شش درجه آزادی بیان کرد:

$$\sum_{j=1}^6 \left[(M_{ij} + M_{aij}) \frac{d^2 \eta_j}{dt^2} + B_{Lij} \frac{d\eta_j}{dt} + B_{Qij} \left| \frac{d\eta_j}{dt} \right| \frac{d\eta_j}{dt} + K_{ij} \eta_j \right] = F_i \quad (16)$$

که در معادله (۱۶) شاخص‌های i و j به ترتیب جهت نیروی سیال و حالت حرکت را نشان می‌دهند. $i=1-2-3-4-5-6$ به ترتیب سرچ، سوآی، هیو، رول، پیچ و یاو اشاره دارد. B_L و B_Q به ترتیب ضرایب میرایی خطی و درجه دوم هستند. سمت راست معادله (۱۷) شامل نیروهای محیطی (نیروی متوسط باد، موج و جریان) است [۲۲].

در سمت چپ معادله (۱۶)، جرم افزوده (Ma)، جرم افزوده هم‌فاز با شتاب، میرایی و سختی خطوط مهار قرار دارد. برای ماتریس سختی K و ماتریس میرایی B ، سهم خطوط مهار مجموع مشارکت همه خطوط مهار است، بطور مثال برای جهت سرچ از رابطه زیر استفاده می‌شود.

$$Surge: K_{11} = \sum_{l=1}^n k_1 \cos^2 \psi_l \quad (17)$$

$$Sway: K_{22} = \sum_{l=1}^n k_1 \sin^2 \psi_l \quad (18)$$

۲-۵-۲- سختی خطوط مهار

یک خط مهار به ترتیب نیروی افقی و عمودی T_H و T_V را بر اساس معادله (۱۳) و (۱۴) بر سازه شناور وارد می‌کند.

$$T_H = (T_H)_M + k_{11} \eta_1 \quad (13)$$

$$T_V = (T_V)_M + k_{33} \eta_3 \quad (14)$$

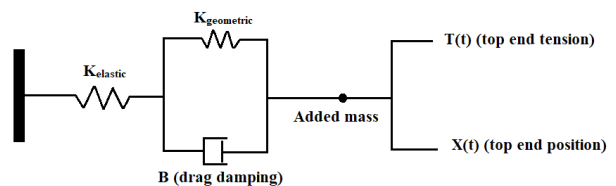
در معادلات (۱۳) و (۱۴) η_1 و η_3 حرکات و k_{11} و k_{33} به ترتیب سختی در جهت افقی و عمودی هستند. دو نیروی T_H و T_V با افت سازه شناور رابطه دارند. هر چه انحراف سازه شناور از موقعیت تعادلش بزرگتر باشد، نیروی واکنش T_H بزرگتر خواهد بود. مشابه یک سیستم فنری ساده، چنین رابطه‌ای بین افت ساختار شناور و نیروی واکنش خط مهار را سختی خط مهار می‌نامیم. سختی مهار یک رابطه متناسب بین نیرو و جابجایی ایجاد می‌کند. هنگامی که کشش بالای خط افزایش می‌یابد، خط مهار دارای کشیدگی محوری و همچنین تغییر شکل کلی هندسی خواهد شد. بنابراین سختی مهار شامل سختی محوری AE و سختی هندسی است [۱].

۳-۵-۲- دینامیک خطوط مهار

معادله (۱۵) کشش خط مهار ناشی از حرکت فرکانس موج (WF) را توصیف می‌کند:

$$M \frac{d^2 r}{dt^2} + B \frac{dr}{dt} + K r = F(r, t) \quad (15)$$

که در معادله (۱۵) M جرم افزوده، B میرایی، K ماتریس سختی، F یک نیروی برانگیختگی خارجی و $r = (x, y, z)$ بردار جابجایی از موقعیت است. تجزیه و تحلیل دینامیکی، شامل جرم اضافه شده، میرایی، و سختی در شکل ۷ نشان داده شده است.



۳- شبیه سازی

شبیه سازی به عنوان یک ابزار قدرتمند در علوم مهندسی، به ما این امکان را می دهد تا رفتار و عملکرد سیستم ها و فرآیندها را در شرایط واقعی یا شرایط مد نظر، مدل سازی و تحلیل کنیم. با استفاده از شبیه سازی ما می توانیم توانایی پیش بینی و بهبود عملکرد سیستم را ارتقاء دهیم، بدون اینکه نیاز به آزمایش های گران قیمت و زمان بر داشته باشیم. شبیه سازی عددی به ما این امکان را می دهد که در یک محیط شبیه سازی، بسیاری از تجزیه و تحلیل های مربوط به خطوط مهار و سکوهاى شناور را میسر سازیم. مدل شبیه سازی شده در این مقاله سکوی نیمه شناور امیر کبیر می باشد که بر اساس طرح پایه GVA-4000 طراحی و در ۲۵۰ کیلومتری بندر نکا در دریای کاسپین مستقر است. شکل کلی و مشخصات سازه ای سکوی امیر کبیر در شکل ۹ و جدول ۱ ارائه شده است.



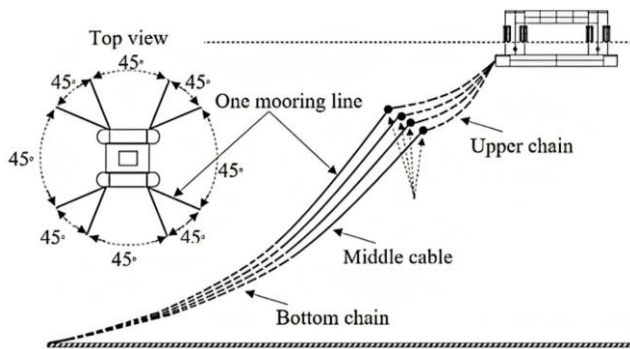
شکل ۹ - سکوی امیر کبیر.

جدول ۱ - برخی مشخصات هندسی سکوی نیمه شناور امیر کبیر [۲۳-۲۴].

| شرح | مقدار | شرح | مقدار |
|------------------------|-------|-------------------|--------|
| طول کل (m) | ۹۸٫۶ | عرض کل (m) | ۷۸٫۸۴ |
| ارتفاع تا کف عرشه (m) | ۲۸٫۵ | طول پانتون (m) | ۸۰٫۵۶ |
| ارتفاع تا سقف عرشه (m) | ۳۶٫۵ | عرض پانتون (m) | ۱۸٫۶۸ |
| فطر ستون ها (m) | ۱۲٫۹ | قطر مهار بند (m) | ۲ |
| فاصله بین ستون ها (m) | ۵۴٫۷۲ | آبخور عملیاتی (m) | ۱۹٫۵ |
| ارتفاع مهار تا کف (m) | ۱۱٫۲ | وزن عملیاتی | ۲۸٫۶۲۱ |

طراحی سکوی نیمه شناور امیر کبیر به گونه ای است که از هشت مهار بطول سه کیلومتر (در هر گوشه سکو دو مهار) تشکیل شده است. این به معنای استفاده از مهارهای بلند و پیچیده می باشد که می تواند به مشکلاتی مانند هزینه بالا، پیچیدگی در نصب، مشکلات در نگهداری مهار در شرایط آب و هوایی متغیر و محدودیت های

فنی و فیزیکی منجر شود. مشخصات مهارها در شکل ۱۰ و جدول ۲ ارائه شده است.



شکل ۱۰ - مشخصات مهار سکوی نیمه شناور امیر کبیر [۲۵].

جدول ۲ - مشخصات یک مهار سکوی نیمه شناور امیر کبیر [۲۶].

| بخش | نوع | قطر (mm) | طول (m) | کیفیت | مقاومت شکست KN |
|--------|-------|----------|---------|----------|----------------|
| بالایی | زنجیر | ۷۶ | ۹۰۰ | NV-R3S | MBL5454 |
| میانی | کابل | ۸۶ | ۱۰۰۰ | IWRS37*6 | MBL5100 |
| پایینی | زنجیر | ۷۶ | ۱۱۰۰ | NV-R3S | MBL5454 |

۳-۱- شبیه سازی حوزه زمان

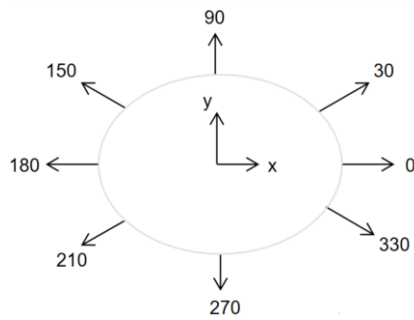
در شبیه سازی حوزه زمان، پاسخ های مربوط به حرکات شناور و مهار، از طریق یکپارچه سازی عددی به دست می آید، همچنین می توان معادلات غیرخطی تاریخچه زمانی دیگر موجود در شبیه سازی را بدست آورد به عنوان مثال:

- حل غیرخطی، مربوط به هندسه: همراه با تغییرات بزرگ در شکل خطوط مهار.

- حل غیرخطی، مربوط به بستر دریا: برهمکنش بین خط مهار و بستر دریا.

- بارگذاری مستقیم سیال: متناسب با مجذور سرعت نسبی.

روش حوزه زمان برای انجام شبیه سازی جفت شده پاسخ های میانگین، فرکانس پایین و فرکانس موج شناور و سیستم مهار استفاده می شود. این رویکرد، معادلات حرکت مربوط به پاسخ شناور و خطوط مهار را به طور همزمان حل می کند. جرم، میرایی، سختی، بارگذاری و غیره در هر مرحله زمانی با در نظر گرفتن هندسه در آن لحظه و متغیر با زمان ارزیابی می شوند. از تحلیل استاتیکی به عنوان پیکربندی اولیه استفاده می شود و با گذشت زمان تغییر می کند. خروجی نتایج اولیه، تاریخچه زمانی مربوط به حرکات سکو است. معادله حرکتی استفاده شده در حوزه زمان همان معادله (۱) می باشد. مراحل تجزیه و تحلیل دامنه زمانی به ترتیب زیر انجام می شود:



شکل ۱۱- زوایای نیرو و مهار در مدل‌ها

- تقسیم بندی به المان‌ها: سپس، مدل به المان‌های کوچکتر تقسیم می‌شود. در OrcaFlex، این المان‌ها به صورت المان‌های خطی (برای مهار) و المان‌های سطحی (برای سکو) در نظر گرفته می‌شوند.

- تعریف خصوصیات المان‌ها: برای هر المان، خصوصیات مواد، شرایط مرزی و سایر پارامترهای مورد نیاز تعریف می‌شوند.

- محاسبات المان‌ها: با استفاده از معادلات حاکم بر المان‌های خطی و سطحی، پاسخ هر المان در هر گام زمانی محاسبه می‌شود.

- ترکیب نتایج: نتایج محاسبات برای تک تک المان‌ها با یکدیگر ترکیب می‌شوند تا پاسخ کلی سازه به دست آید.

- حل معادلات حرکت: معادلات حرکت سازه در هر گام زمانی با استفاده از روش‌های عددی مانند روش گام‌به‌گام حل می‌شود. این روش‌های عددی به OrcaFlex این امکان را می‌دهد تا پاسخ دینامیکی سکوها را با دقت بالا محاسبه کند و نتایج مفیدی را برای طراحی و ارزیابی ارائه دهد.

مزیت تجزیه و تحلیل دامنه زمان، توانایی آن در مدل کردن همه موارد و عوامل غیرخطی سیستم، از جمله جرم، موج، میرایی، و سفتی، و بار متغیر به عنوان ورودی به همراه در نظر گرفتن فرکانس پایین و بالا در نرم افزار می‌باشد. با این حال، محاسبه می‌تواند زمان بر باشد. با این وجود، با پیشرفت در فناوری محاسبات، تجزیه و تحلیل دامنه زمانی بیشتر و بیشتر محبوب می‌شود و راه رو به جلو را نشان می‌دهد. به ویژه هنگامی که برای تجزیه و تحلیل موارد بار بحرانی، تأیید تجزیه و تحلیل دامنه فرکانس، و سیستم‌هایی با غیرخطی بالا و غیره استفاده می‌شود، بسیار ارزشمند است [۳۰].

۳-۳- جمع آوری داده‌ها محیطی

جهت مدل‌سازی سکوی نیمه‌شناور و محاسبات نیروها باید از داده‌های محیطی استفاده شود. چگالی هوا 0.0013 te/m^3 و ویسکوزیته سینماتیک^{۳۷} هوا برای محاسبه عدد رینولدز^{۳۸} m^2/s 15×10^{-6} لحاظ شده است. بستر دریا بصورت صاف و الاستیک با عمق طراحی برای این سکو ۵۰۰ متر در نظر گرفته شده است. مشخصات نیروهای محیطی موج، باد و جریان لحاظ شده در نرم‌افزار در جدول ۳ ارائه شده است. موج، باد و جریان قالب اعمالی به سکو

- در ابتدا تعریف شرایط باد، موج، جریان (نیروهای محیطی) و شرایط عمق و بستر دریا

- سپس ابعاد سکو و مدل هیدرودینامیکی سیستم، شامل شناور و مهار تعیین می‌شود.

- کنترل RAOهای جابجایی مدل با RAOهای سکوی امیرکبیر

- شبیه‌سازی چندین بار با استفاده از دامنه‌های مختلف برای تولید تاریخچه زمانی

- تعیین حداکثر و حداقل مقادیر مورد انتظار کشش خطوط مهار و جابجایی شناور

- بررسی حد مجاز کشش خط و جابجایی شناور با معیارهای طراحی

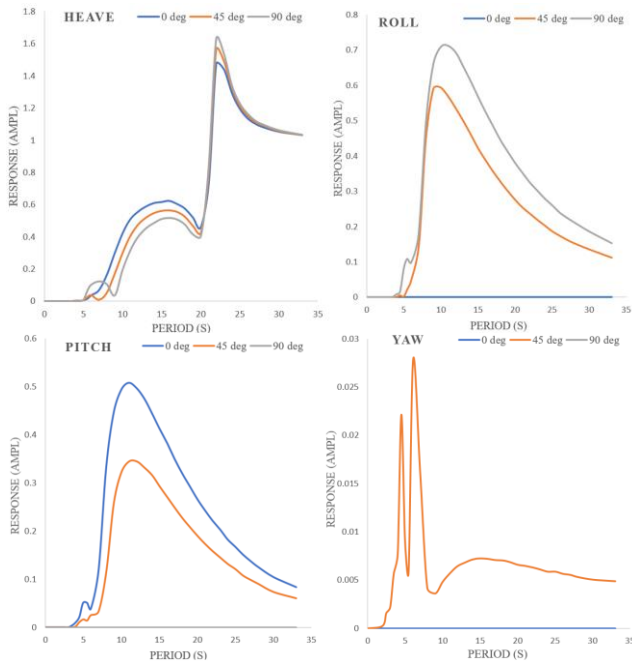
و در نهایت خروجی حوزه زمانی شبیه‌سازی‌ها، شامل پردازش آماری جابجایی شناور، کشش خطوط مهار، محل لنگر و طول مهار بدست می‌آید.

۲-۳- معرفی نرم‌افزار

برای حل معادله حرکتی شناور در حوزه زمان باید از روش‌های عددی مناسب استفاده کرد، روش‌های شهودی و تحلیلی در حل رفتار غیرخطی معمولاً کارا نیستند. بنابراین استفاده از روش‌های عددی مانند المان محدود^{۳۶} می‌تواند مناسب باشد. نرم‌افزار آرکافلکس (OrcaFlex) در حال حاضر یکی از کاربردی‌ترین ابزارهای عددی، در جهت آنالیز و بررسی مهارها بر روش المان محدود می‌باشد. OrcaFlex برای انجام تجزیه و تحلیل دینامیکی از روش FE برای تحلیل استفاده می‌کند [۲۷]. در این تحلیل مهارها بصورت جرم توده‌ای به تعدادی گره تقسیم و به عنوان جرم نقطه‌ای و فنر در نظر گرفته می‌شوند [۲۸-۲۹].

روش المان محدود یک تکنیک عددی است که در آن جسم یا سازه به قطعات کوچکتری به نام المان‌ها تقسیم می‌شود و رفتار هر المان به صورت جداگانه مورد بررسی قرار می‌گیرد. روش المان محدود در نرم‌افزار OrcaFlex به شرح زیر است:

- مدل‌سازی هندسه: در ابتدا، هندسه سازه و مهارها به صورت مدل سه بعدی در OrcaFlex ایجاد می‌شود. زوایای نیروها و مهارها در نرم‌افزار مطابق شکل ۱۱ تعریف می‌شود.



شکل ۱۲ - دامنه طیف پاسخ سکوی نیمه شناور امیرکبیر

بمنظور محاسبه مابقی زوایا، از روش درونیایی استفاده شد. پس از آن نوبت به وارد کردن نیروها و سپس مدل کردن سکوی نیمه‌شناور امیرکبیر در نرم‌افزار Orca-Flex می‌رسد. با دریافت نتایج، خروجی‌های دامنه طیف پاسخ توسط نرم افزار با داده‌های قبلی بدست آمده مجدداً قیاس می‌شود تا اطمینان حاصل کنیم RAOهای ثبت شده از انسیس با سکوی شبیه‌سازی شده و نیروها منطبق شده باشد. خلاصه مراحل بترتیب زیر می‌باشد:

۱- وارد کردن RAOهای موجود

۲- مدل سازی سکو و مهارها

۳- وارد کردن نیروها

۴- بررسی RAOهای خروجی

۵- در صورت انطباق مورد قبول و در غیر اینصورت، تغییرات در جزئیات مدل سازی

در نرم‌افزار Orca-Flex، RAOهای ورودی، مشخصات سکو، مهارها و نیروهای محیطی ثابت و غیر قابل تغییر می‌باشد اما RAOهای خروجی متغیر و وابسته به تمام موارد ثابت ذکر شده است. در صورت داشتن اختلاف، برای به حداقل رساندن RAOهای ورودی و خروجی از متغیرهایی از جزئیات مدل‌سازی از قبیل اتصالات و غیره که به فرم اصلی سکو، مهارها و نیروهای محیطی تاثیر گذاشته نشود (بصورت صحیح و خطا) استفاده شده است. همانطور که در شکل ۱۲ مشاهده می‌کنید RAOهای حرکتی سکوی مدل شده توسط نرم‌افزار نشان داده شده است. به این ترتیب، با توجه به چشم پوشی از مقدار خطای جزئی نتایج مربوط به دو شکل ۱۲ و ۱۳ مورد قبول و تقریباً منطبق می‌باشد.

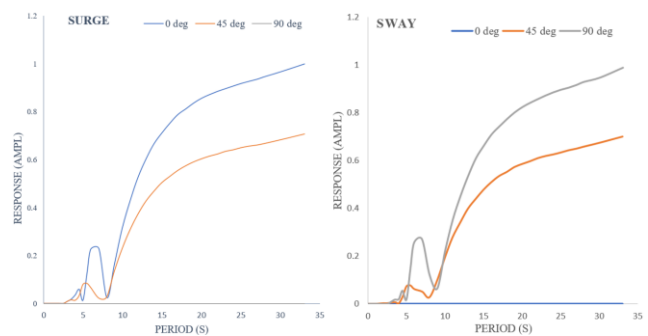
در زاویه ۱۸۰ درجه می‌باشد. شرایط محیطی دریای کاسپین برای امواج نامنظم طیف JONSWAP، باد طیف NPD و جریان روش Interpolated می‌باشد [۲۷-۲۶-۲۵].

جدول ۳ - نیروهای محیطی دریای کاسپین [۲۶-۲۵].

| پارامتر محیطی | واحد | دوره‌های بازگشت (سال) | | |
|----------------------------------|------|-----------------------|------|------|
| | | ۱ | ۱۰ | ۱۰۰ |
| ارتفاع موج پیشینه | m | ۷ | ۱۲٫۹ | ۱۴ |
| پریود متناسب با ارتفاع پیشینه | s | ۹٫۴ | ۱۰٫۶ | ۱۱٫۵ |
| ارتفاع مشخصه موج | m | ۵٫۶ | ۷٫۲ | ۸٫۴ |
| پریود پیک متناسب با ارتفاع مشخصه | s | ۱۰٫۴ | ۱۱٫۸ | ۱۲٫۸ |
| سرعت متوسط باد ۱ دقیقه‌ای | m/s | ۲۲ | ۲۹ | ۳۸ |
| سرعت جریان در سطح آزاد آب | m/s | ۰٫۸۶ | ۱ | ۱٫۲۶ |

۴-۳- اعتبار سنجی مدل

پس از مدل‌سازی هندسی و تعیین شرایط محیطی و نیروهای وارده، اعتبارسنجی نرم‌افزار مورد ارزیابی قرار می‌گیرد. در زمینه طراحی سازه‌های شناور، اپراتور دامنه پاسخ^{۳۹} (RAO) یک آمار مهندسی می‌باشد که برای تعیین رفتار احتمالی یک شناور در هنگام اعمال نیروها در دریا استفاده می‌شود. اپراتورهای دامنه پاسخ که با نام اختصاری RAO شناخته می‌شوند، معمولاً از مدل‌های طرح‌های شناور پیشنهادی آزمایش شده در یک حوضچه مدل‌سازی یا از اجرای برنامه‌های کامپیوتری تخصصی CFD، مانند انسیس به‌دست می‌آیند. در این راستا، ابتدا عملکرد دامنه پاسخ بدست آمده از نرم‌افزار انسیس موجود سکوی امیرکبیر در شش جهت حرکتی از سه زاویه، همانطور که در شکل ۱۲ نشان داده شده است با دقت ثبت می‌شود.



برای تحلیل این نمودارها، پارامترهای مختلفی مانند جابجایی عمودی (هیو) و زاویه چرخش (پیچ) سکو مورد بررسی قرار گرفته‌اند.

با توجه به ترکیب مهارهای امیر کبیر (کنتری - کششی - کنتری)، در مدل‌های انجام شده هر مهار فقط از یک جنس بوده و مهار اصلی سه قسمته، یکدست و تک جنس (کنتری یا کششی) تغییر داده شد. نیروهای پیش کشش مهارها بر اساس استانداردهای مربوطه و نیازهای سکوی نیمه شناور امیر کبیر تعیین شده‌اند.

اعمال تغییرات در بخش‌های زیر، در جهت بهبود عملکرد مهارها، در مدل‌سازی عددی اعمال شد.

- کاهش طول مهار کششی
- کاهش زاویه اتصال عمودی
- کاهش طول مهار کنتری
- محل قرار گیری لنگر
- تغییرات زاویه افقی

این تغییرات در سه مرحله انجام شد.

گام اول

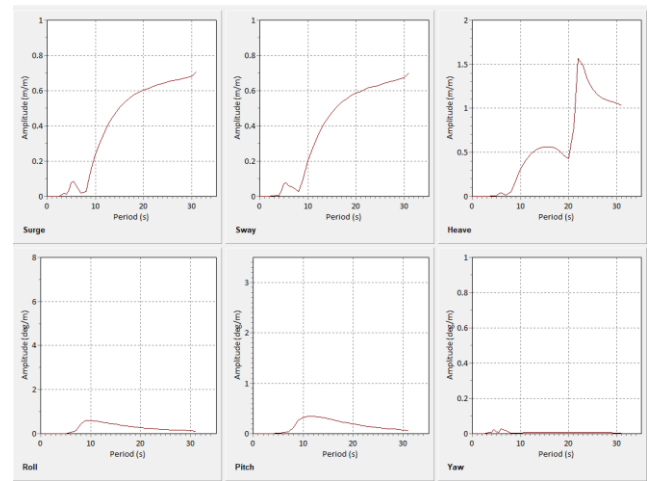
بر اساس ترکیب مهارها، در گام اول با اعمال یک تا ۴ مهار در پای هر ستون شروع و این چیدمان‌ها در شبیه‌سازی با اعمال به ۳۰ مدل انجام شد. در اولین گام طول مهار کنتری را به ۲۰۰۰ متر و مهارکششی را به ۷۰۰ متر کاهش دادیم. زوایای مهارها بر اساس تقسیم تعداد مهارهای هر مدل بر ۳۶۰ درجه قرار داده شده است تا تمام جهت‌ها را پوشش داده و زوایا یکسان و متقارن باشد. مشخصات ثابت و متغیر مهارها در هر مدل در جدول ۴ آورده شده است.

جدول ۴- ثابت‌ها و متغیرهای مدل‌های گام اول

| متغیرها | ثابت‌ها |
|-----------------------|--|
| تعداد مهارها | طول مهار کنتری ۲،۰۰۰ متر طول مهار کششی ۷۰۰ متر |
| ترتیب محل قرار مهارها | تیپ مهارها، مشابه مدل اصلی امیر کبیر زاویه افقی مهارها ثابت |
| شعاع اتصال مهارها به | حداکثر کشش مهار کنتری ۳،۰۰۰ KN |
| بستر دریا | حداقل کشش مهار کششی ۱،۰۰۰ KN |

۳۰ مدل اولیه شامل:

- ۱- دو مدل ۴ (۱×۴) مهار (در هر مدل فقط یک نوع مهار کنتری یا کششی استفاده شده است)
- ۲- چهار مدل ۸ (۲×۴) مهار (یک مدل فقط مهار کنتری - یک مدل فقط مهار کششی - یک مدل اول مهار کنتری بعد کششی - مدل بعدی اول مهار کششی بعد کنتری)



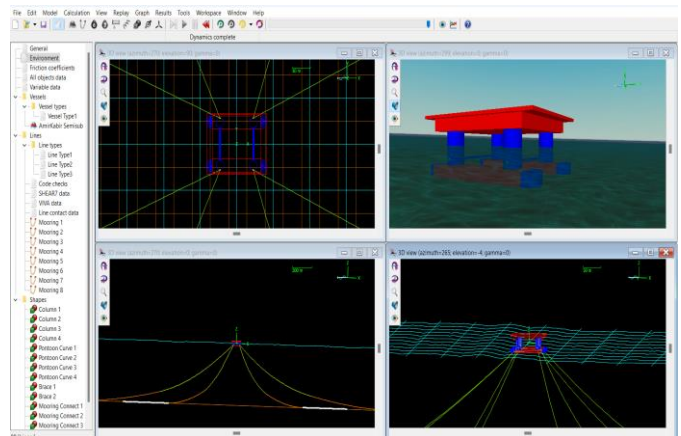
شکل ۱۳- دامنه طیف پاسخ در زاویه ۴۵ درجه

با رعایت دقت و بهبود مستمر معیارهای مدل‌سازی در نرم‌افزار Orca-Flex، تشابه دو نمودار بهم نزدیکتر می‌شود.

۳-۵- مدل‌سازی

در این قسمت، مدل‌های مختلف سکوی نیمه‌شناور امیر کبیر با تعداد مهارهای متفاوت (۴مهار، ۸ مهار، ۱۲ مهار، ۱۶ مهار) مورد بررسی قرار گرفت.

همانطور که در شکل ۱۴ مشاهده می‌شود، در ابتدا سکوی نیمه شناور امیر کبیر با تعداد مهارهای اولیه، ۸ مهار دوتایی در هر گوشه به صورت مدل اولیه در نظر گرفته شده است. سپس، با تغییراتی در طول و موقعیت مهارها مدل‌های دیگری از سکوی نیمه شناور امیر کبیر ایجاد می‌شود.



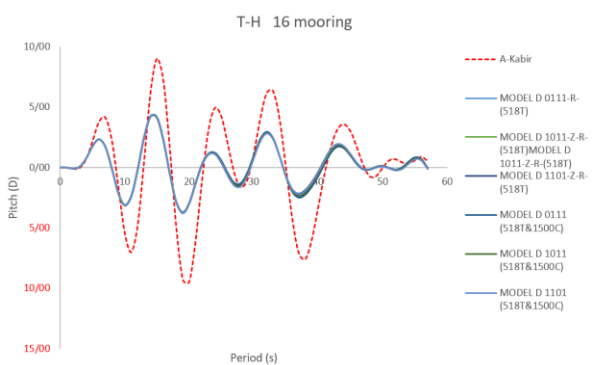
شکل ۱۴- مدل سکوی نیمه شناور امیر کبیر

بعد از انجام هر مدل، نمودارهای زمان-جابجایی^{۴۰} برای تحلیل حرکات سکو از هر مدلسازی استخراج شد. سپس با استفاده از تبدیل فوریه سریع^{۴۱} (FFT)، از داده‌های زمان-جابجایی به شکل‌های بی‌بعد طیف دامنه پاسخ دست یافتیم. در این نمودارها، تغییرات جابجایی‌های سکو در طول زمان نشان داده شده است.

جدول ۶- ثابت‌ها و متغیرهای مدل‌های گام دوم

| متغیرها | ثابت‌ها |
|--------------------------------|-------------------------------------|
| تعداد مهارها | طول مهار کتنری ۱،۵۰۰ متر |
| | طول مهار کششی ۵۱۸ متر |
| ترتیب محل قرار مهارها | تیپ مهارها، مشابه مدل اصلی امیرکبیر |
| | زاویه افقی مهارها ثابت |
| شعاع اتصال مهارها به بستر دریا | حداکثر کشش مهار کتنری ۳،۰۰۰ KN |
| | حداقل کشش مهار کششی ۱،۰۰۰ KN |

با آنالیز این ترکیب مهار متوجه بهبود بیشتر در حرکات سکو شدیم. در شکل ۱۶ حرکت چرخشی پیچ در ۶ مدل باقیمانده سکوهایی ۱۶ مهاری نشان داده شده است.



شکل ۱۶ - حرکت پیچ سکوهایی ۱۶ مهاری گام سوم

۴- تحلیل و بررسی خروجی‌ها

خروجی‌های مربوط به تغییرات مهارهای سکوی نیمه شناور امیر کبیر بررسی شد. در این بخش برای هر مدل، تغییرات مربوط به جابجایی سکو در طول زمان بر اساس مهارهای کتنری و کششی تحلیل شده است. با توجه به گام‌های مدل‌سازی طول، جنس و زاویه اتصال از مهمترین عوامل تاثیرگذار بر حرکات سکوی نیمه-شناور می‌باشد.

با مدل‌سازی‌های انجام گرفته در نهایت، با توجه به طول ۱۵۰۰ متری کتنری و ۵۱۸ متری کششی، در نهایت یک مدل ۸ مهار B 10 (۴ کتنری + ۴ کششی)، دو مدل ۱۲ مهاری C 101 و C 110 (۴ کتنری + ۸ کششی) و دو مدل ۱۶ مهاری D 0111 و D 1011 (۴ کتنری + ۱۲ کششی) که بر اساس بازه حرکتی کمتر سکوی نیمه‌شناور در حرکت هیو و پیچ، به عنوان ترکیب مهاری مناسب‌تر شده در جدول ۷ ارائه شده است.

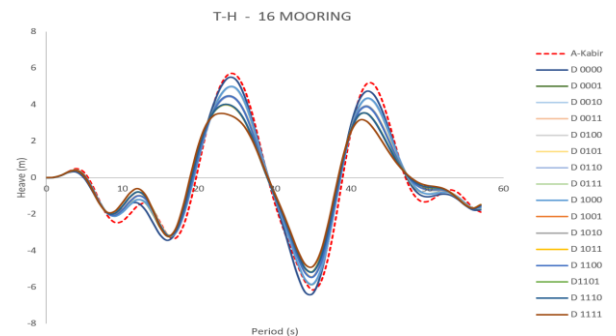
جدول ۷- مشخصات مهار سکوهایی نیمه‌شناور

| نام مدل | خطوط | نوع | شعاع | طول | زاویه افقی |
|---------|--------|-------|-------|-------|------------|
| B 10 | مهار ۱ | کششی | ۱۹۲ | ۵۱۸ | ۴۵ |
| | مهار ۲ | کتنری | ۱،۳۶۰ | ۱،۵۰۰ | ۴۵ |
| C 101 | مهار ۱ | کششی | ۱۹۲ | ۵۱۸ | ۴۰ |
| | مهار ۲ | کتنری | ۱،۳۶۲ | ۱،۵۰۰ | ۴۵ |

۳- هشت مدل ۱۲ (۳×۴) مهاری

۴- دوازده مدل ۱۶ (۴×۴) مهاری

با بررسی شکل‌های حرکتی هیو و پیچ سی مدل، دوازده مدل (دو مدل ۸، چهار مدل ۱۲ و ۶ مدل ۱۶ مهاری) از مدل‌های تغییر یافته ای که نسبت به دیگر مدل‌ها بازه حرکتی کمتری (در نمودارهای زمان-جابجایی) داشته‌اند، جهت اعمال در گام دوم استفاده شد. در شکل ۱۵ حرکت هیو سکو در شکل زمان-جابجایی برای سکوهایی ۱۶ مهاری گام اول نشان داده شده است.



شکل ۱۵ - حرکت هیو سکو در مدل‌های ۱۶ مهاری گام اول

گام دوم -

در گام دوم، تغییرات شامل، کاهش طول مهارهای کششی به ۵۱۸ متر، کاهش زاویه باندازه ۱۵ درجه در امتداد عمود، تغییرات در محل قرارگیری مهارها (کتنری و کششی) و محل اتصال به بستر دریا اعمال شد. این تغییرات در جدول ۵ آورده شده است.

جدول ۵- ثابت‌ها و متغیرهای مدل‌های گام دوم

| متغیرها | ثابت‌ها |
|--------------------------------|-------------------------------------|
| تعداد مهارها | طول مهار کتنری ۲،۰۰۰ متر |
| | طول مهار کششی ۵۱۸ متر |
| ترتیب محل قرار مهارها | تیپ مهارها، مشابه مدل اصلی امیرکبیر |
| | زاویه افقی مهارها ثابت |
| شعاع اتصال مهارها به بستر دریا | حداکثر کشش مهار کتنری ۳،۰۰۰ KN |
| | حداقل کشش مهار کششی ۱،۰۰۰ KN |

در ادامه با بررسی و تحلیل حرکتی مدلها، ۶ مدل (یک مدل ۸ مهاری، دو مدل ۱۲ مهاری و سه مدل ۱۶ مهاری) که دارای بازه حرکتی کمتری بودند جهت اعمال در گام بعد انتخاب شدند.

گام سوم -

با توجه به جزئیات موجود در جدول ۶، در گام سوم با حفظ تغییرات اعمال شده در گام‌های قبل، تغییرات در این گام بر روی طول مهار کتنری به اندازه ۱۵۰۰ متر، کاهش زاویه اتصال در امتداد عمود، تغییرات در محل مهارها (کتنری و کششی) و محل اتصال به بستر دریا می‌باشد.

۴-۱- بررسی تأثیرات ترکیب مهارها بر حرکات سکو

در ابتدا، با اعمال بارهای استاتیکی و دینامیکی، سکو به حالت تعادل می‌رسد و جابجایی‌ها کاهش می‌یابند. اما با افزایش زمان، تشدید در تغییرات حرکتی مربوط به سکو را شاهد بودیم.

نتایج حاصل از مدل‌سازی نشان می‌دهد که تغییر در تعداد مهارها و موقعیت آنها تأثیر قابل توجهی بر رفتار سکوی نیمه شناور دارد. با افزایش تعداد مهارها، جابجایی عمودی سکو کاهش یافته که باعث افزایش ایمنی و کارایی سکو می‌باشد. همچنین، با تغییر موقعیت مهارها، زاویه چرخش سکو نیز تغییر می‌کند. این تغییرات شامل:

۱- بهبود میزان جابجایی عمودی

۲- بهبود زاویه چرخش نسبت به افق

همچنین این نتایج نشان می‌دهند تغییرات مهارها در کاهش جابجایی سکو در محور عمودی بیشتر از محور افقی و حرکت چرخشی تأثیرگذار است. میزان کاهش طول مهارها (متعاقباً کاهش وزن) و همچنین با کاهش طول مهارها، محل لنگر به سکو نزدیکتر شده و شاهد کاهش شعاع عملیاتی برای پیاده‌سازی مهار خواهیم بود که بصورت درصد در جدول ۹ ارائه شده است.

جدول ۹ - میزان کاهش مدل‌های شبیه‌سازی شده نسبت به مدل اولیه

| نام مدل | درصد کاهش | |
|---------|------------------|-------------------|
| | مقدار طول مهارها | شعاع عملیاتی مهار |
| B 10 | ۶۶٪ | |
| C 101 | ۵۸٪ | |
| C 110 | ۵۸٪ | ۵۳٪ |
| D 0111 | ۴۹٪ | |
| D 1011 | ۴۹٪ | |

با توجه به مشابه بودن نتایج هر دو مدل ۱۶ مهاره، تفاوت دو مدل زوایای مهارها می‌باشد که در جدول ۷ ذکر شده می‌باشد. با توجه به کاهش محدوده عملیاتی بر اساس شرایط بستر دریا از مدل مناسبتر استفاده می‌شود.

۴-۲- مقایسه سه طیف دامنه پا سخ مدل‌های برگزیده با مدل اولیه

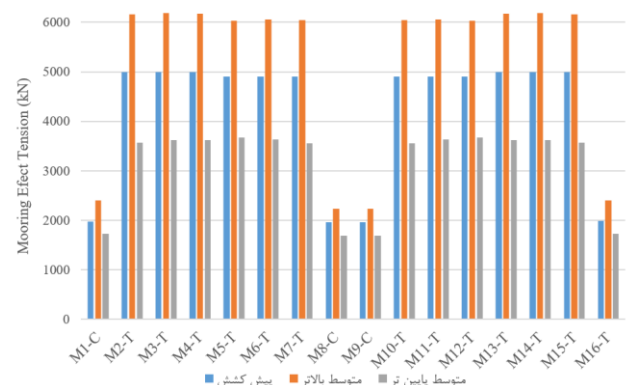
با مقایسه و بررسی شکل طیف دامنه پاسخ مربوط به مدل‌های برگزیده و مدل اولیه، و اهمیت محل قرارگیری حداکثر طیف پاسخ نسبت به فرکانس طبیعی بدلیل بوجود آمدن تشدید، می‌توانیم اهمیت ترکیب مناسب مهارها بر رفتار سکو را به طور دقیق‌تر مشاهده کرد. شکل‌های ۱۸ و ۱۹ نمایش دهنده طیف دامنه پاسخ مربوط به حرکت هیو و پیچ سکوی نیمه‌شناور امیرکبیر و مدل‌های برگزیده شده هستند، با توجه به حرکات هیو و پیچ مشاهده می‌شود

| | | | | |
|--------|-------|-------|-------|------|
| C 110 | کششی | ۱۹۲ | ۵۱۸ | ۵۰ |
| | کششی | ۱۹۲ | ۵۱۸ | ۴۰ |
| | کششی | ۱۹۲ | ۵۱۸ | ۴۵ |
| | کنتری | ۱.۳۶۳ | ۱.۵۰۰ | ۴۵ |
| D 0111 | کنتری | ۱.۳۶۵ | ۱.۵۰۰ | ۳۷.۵ |
| | کششی | ۱۹۳ | ۵۱۸ | ۴۲.۵ |
| | کششی | ۱۹۳ | ۵۱۸ | ۴۷.۵ |
| | کششی | ۱۹۳ | ۵۱۸ | ۵۲.۵ |
| D 1011 | کششی | ۱۹۳ | ۵۱۸ | ۴۰ |
| | کنتری | ۱.۳۶۵ | ۱.۵۰۰ | ۴۵ |
| | کششی | ۱۹۳ | ۵۱۸ | ۴۵ |
| | کششی | ۱۹۳ | ۵۱۸ | ۵۰ |

جهت سادگی و ادراک بهتر فقط مهارهای متصل به یک ستون مربوط به سکوی نیمه‌شناور قرار داده شده است. با توجه به جدول ۷ کاهش زوایای اتصال بین مهارهای هر ستون باعث عملکرد بهتر در حرکت سکو می‌شود. با توجه به عملکرد نرم افزار در صورتی که مقدار کشش مهارها از مقدار مجاز بیشتر شود، مهار پاره شده و سکو واژگون می‌گردد. در جدول ۸ مشخصات مهارها که در تمام مدل‌ها استفاده شده است و در شکل ۱۷ مقدار نیروهای پیش کشش و متوسط بالا و پایین پیش کشش برای هر یک از شانزده مهار مدل D 0111 ارائه شده است.

جدول ۸- مشخصات مهار کنتری و کشیده

| کشیده | کنتری | مهار |
|--------------------------|----------|------------------|
| Rope/Wire | chain | جنس |
| 6*19 Wire with Wire core | studlink | نوع |
| ۰,۱۰۲ | ۰,۰۷۹ | ضخامت (m) |
| ۰,۰۳۵ | ۱,۱۷ | وزن در آب (kn/m) |



شکل ۱۷- نیروهای کششی ۱۶ مهار مدل D 0111

در شکل ۱۷ محور افقی نام و شماره مهارها می‌باشد. حروف C، M و T بترتیب برای کلمات مهار، کنتری و کشیده بصورت مخفف استفاده شده است.

اولیه طراحی تأثیر مستقیمی بر بهبود رفتار و جابجایی سکو دارد. همچنین، با تحلیل نمودارهای زمان-جابجایی می‌توان به نحوه تغییرات جابجایی‌ها در طول زمان، به بهبود طراحی سکوی نیمه-شناور و افزایش ایمنی آن کمک کند.

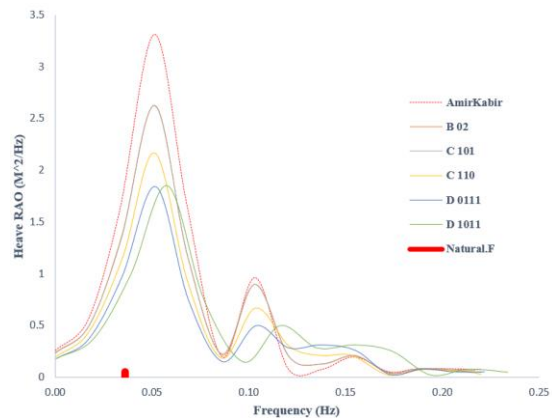
مدل‌سازی سکوی نیمه‌شناور امیرکبیر با مهارهای متفاوت در این پژوهش به وضوح نشان داد که مهارها و موقعیت آنها بر رفتار سکو و جابجایی آن تأثیر مستقیمی دارند. این نتایج می‌تواند باعث تغییرات مثبت در طراحی و بهینه‌سازی حرکتی سکوه‌های نیمه‌شناور شود. ترکیب مهارها منجر به بهبود قابل توجهی در عملکرد و استحکام این سکوها می‌شود.

در پژوهش‌های آتی، می‌توان به عوامل دیگری مانند امواج و شرایط آب و هوایی بر رفتار سکوه‌های نیمه‌شناور با محوریت مهارها بر اساس شرایط بستر دریا، تغییر عمق، شکل ستون‌ها و پانتون‌ها^{۴۲} توجه کرد. همچنین، می‌توان با بهبود روش‌های مدل‌سازی و تحلیل، دقت نتایج را ارتقا داد.

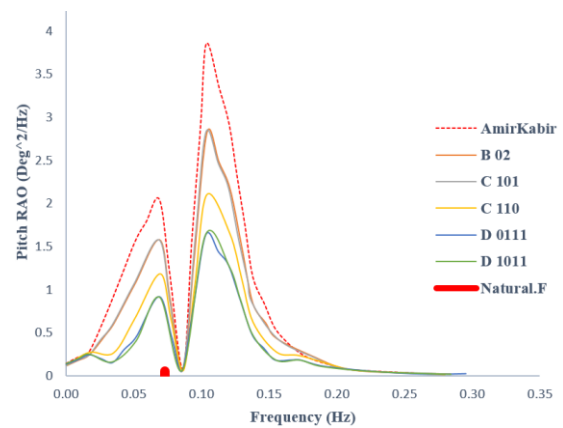
۶- کلیدواژگان

- 1- Floating production storage and offloading
- 2- Semi-submersible platform
- 3- Spar platform
- 4- Tension leg platform
- 5- Mooring system
- 6- Offshore wind turbine
- 7- Catenary mooring
- 8- Taut mooring
- 9- Fairlead
- 10- Newton's Second Law
- 11- Bernoulli's equation
- 12- Morison equation
- 13- Roll
- 14- Pitch
- 15- Yaw
- 16- Surge
- 17- Sway
- 18- Heave
- 19- Inertia
- 20- Damping
- 21- Stiffness
- 22- Hydrodynamic loads
- 23- Wave frequency
- 24- Low frequency
- 25- Resonance frequencies
- 26- Natural periods
- 27- Elastic response
- 28- Non-linear load
- 29- Riley Damping
- 30- Mass damping
- 31- Rigid
- 32- Polyester

که میزان حداکثر طیف پاسخ نسبت به فرکانس طبیعی در محدوده فرکانسی مناسبی قرار گرفته شده است.



شکل ۱۸ - نمودار مقایسه و بررسی طیف دامنه پاسخ حرکت هیو



شکل ۱۹ - نمودار مقایسه و بررسی طیف دامنه پاسخ حرکت پیچ

با اعمال تغییرات بر روی مهارهای سکوی نیمه شناور، حرکت این سکوها در مقایسه با مدل اصلی بهبود یافته است. تغییرات مهارها عملکرد سکو را در حرکات پیچ و هیو به مقدار قابل توجهی کاهش داده است. یکی از اصلی‌ترین تغییرات اعمال شده در مدل‌ها، تنظیم، بهبود و کاهش مهارها است. همانطور که مشاهده می‌شود استفاده از یک نوع مهار (کنتری یا کششی) مستقل به تنهایی عملکرد بهتری در حرکت سکو نسبت به استفاده از ترکیبی از آنها (کنتری به همراه کششی) دارد. این روند طراحی، باعث کاهش ارتعاشات سکو در مواجهه با شرایط سخت محیطی در دریا می‌شود. به طور خلاصه، تغییرات در مهارها بهبود قابل توجهی در عملکرد و پایداری سکو را به همراه داشته است. با بهره‌گیری از این مدل‌ها، ریسک نوسانات و ارتعاشات غیر مطلوب در سکو را به حداقل می‌رساند.

۵- نتیجه گیری

با توجه به نتایج حاصل از مدل‌سازی و تحلیل جابجایی‌ها، مشاهده می‌شود که تغییرات در تعداد، طول و موقعیت مهارها نسبت به مدل

9- Zhang, Z. L., Yuan, H. T., Sun, S. L., & Ren, H. L. (2021). *Hydrodynamic characteristics of a fixed semi-submersible platform interacting with incident waves by fully nonlinear method*. International Journal of Naval Architecture and Ocean Engineering, 13, 526-544.
<https://doi.org/10.1016/j.ijnaoe.2021.06.003>

10- Mazarakos, T., & Tsaousis, T. (2024). *Hydrodynamic Loads on a Semi-Submersible Platform Supporting a Wind Turbine Under a Mooring System With Buoys*. Polish Maritime Research, 31(1), 24-34.
<https://doi.org/10.2478/pomr-2024-0003>

11- Larsen, K. (2015). *Fatigue Analysis and Design of Mooring Systems*. Assessment and comparison of different methods (Master's thesis, NTNU).
<http://hdl.handle.net/11250/2350726>

12- Jonkman, J. M. (2007). *Dynamics modeling and loads analysis of an offshore floating wind turbine*. University of Colorado at Boulder.

13- Eslahi, M. J., Ezam, M., & Ghodsi Hassanabad, M. (2023). *Numerical Study on Heave Plate Effects on Hydrodynamic Responses of Floating Offshore Wind Turbines*. Journal Of Marine Engineering, 19(41), 119-133.
<http://marine-eng.ir/article-1-1070-en.html>

14- Zerwer, A., Cascante, G., & Hutchinson, J. (2002). *Parameter estimation in finite element simulations of Rayleigh waves*. Journal of geotechnical and geoenvironmental engineering, 128(3), 250-261.
[https://doi.org/10.1061/\(ASCE\)1090-0241\(2002\)128:3\(250\)](https://doi.org/10.1061/(ASCE)1090-0241(2002)128:3(250))

15- Sarpkaya, T., *Experimental Determination of the Critical Reynolds Number for Pulsating Poiseuille Flow*, Trans. ASME, J. Basic Engng, Vol. 88 (1966).

16- Schulz, K. W., & Kallinderis, Y. (2000). *Three-dimensional numerical prediction of the hydrodynamic loads and motions of offshore structures*. J. Offshore Mech. Arct. Eng., 122(4), 294-300.
<https://doi.org/10.1115/1.1320440>

17- Johansson, P. I. (1976). *A finite element model for dynamic analysis of mooring cables* (Doctoral dissertation, Massachusetts Institute of Technology).

18- Palomo, M. (2017). *Describing Reality: Bernoulli's Challenge of the Catenary Curve and its Mathematical Description by Leibniz and Huygens*. The Dialogue Between Sciences,

33- Elastic
34- Hyperbolic cosine function
35- Inertia
36- Finite element method (FEM)
37- Kinematic viscosity
38- Reynolds number
39- Response amplitude operator
40- Time history
41- Fast Fourier Transform
42- Pontoons

۷ - مراجع

1- Ma, K. T., Luo, Y., Kwan, C. T. T., & Wu, Y. (2019). *Mooring system engineering for offshore structures*. Gulf Professional Publishing.
<https://doi.org/10.1016/C2018-0-02217-3>

2- Karlsson, D., & Forser, M. (2015). *Structural analysis of node cut-outs in a semi-submersible offshore platform*. Master's Thesis in the International Master's Programme Naval Architecture and Ocean Engineering.
<https://doi.org/10.1115/OMAE2016-54068>

3- Lee, J., Kwon, O., Kim, I., Kim, G., & Lee, J. (2019). *Cyclic pullout behavior of helical anchors for offshore floating structures under inclined loading condition*. Applied Ocean Research, 92, 101937.
<https://doi.org/10.1016/j.apor.2019.101937>

4- Wang, R. (2016). *Design of mooring systems in extreme seastates with focus on viscous drift force modelling* (Master's thesis, NTNU).
<http://hdl.handle.net/11250/2622949>

5- Hermawan, Y. A., & Furukawa, Y. (2020). *Coupled three-dimensional dynamics model of multi-component mooring line for motion analysis of floating offshore structure*. Ocean Engineering, 200, 106928.
<https://doi.org/10.1016/j.oceaneng.2020.106928>

6- Feng, A., Kang, H. S., Zhao, B., & Jiang, Z. (2020). *Two-Dimensional Numerical Modelling of a Moored Floating Body under Sloping Seabed Conditions*. Journal of Marine Science and Engineering, 8(6), 389.
<https://doi.org/10.3390/jmse8060389>

7- Trubat, P., Molins, C., & Gironella, X. (2020). *Wave hydrodynamic forces over mooring lines on floating offshore wind turbines*. Ocean Engineering, 195, 106730.
<https://doi.org/10.1016/j.oceaneng.2019.106730>

8- MacCamy, R. C., & Fuchs, R. A. (1954). *Wave forces on piles. A Diffraction Theory*. Washington DC. Crops of Engineers.

- arctic* (pp. 91-100). American Society of Mechanical Engineers.
- 30- API RP 2SK, *Recommended Practice for Design and Analysis of Stationkeeping Systems for Floating Structures, third ed.*, American Petroleum Institute, 2005. Addendum 2008; Reaffirmed 2015.
- Philosophy and Engineering: New Historical and Epistemological Insights. Homage to Gottfried W. Leibniz and 1646–2016, 334.
- 19- Faltinsen, O. (1993). *Sea loads on ships and offshore structures* (Vol. 1). Cambridge university press.
- 20- Wu, Y., Wang, T., Eide, Ø., & Haverty, K. (2015). *Governing factors and locations of fatigue damage on mooring lines of floating structures*. *Ocean Engineering*, 96, 109-124. <https://doi.org/10.1016/j.oceaneng.2014.12.036>
- 21- Krolikowski, L. P., & Gay, T. A. (1980, May). *An improved linearization technique for frequency domain riser analysis*. In *Offshore Technology Conference* (pp. OTC-3777). OTC.
- 22- Vander Velde, W. E. (1968). *Multiple-input describing functions and nonlinear system design*. McGraw-hill Book Company.
- 23- Sabziyan, H., Ghassemi, H., Azarsina, F., & Kazemi, S. (2015). *Appropriate model for mooring pattern of a semi-submersible platform*. *Journal of Subsea and Offshore-Science and Engineering*, 1(1), 18-25.
- 24- Rashidi, J., Ahmadi, A., Seif, M., & Azarsina, F. (2015, May). *The effect of different bracing patterns on the behavior of semi-submersible platform*. The 6th International Conference of Offshore Industries, Sharif University of Technology. (In Persian)
- 25- Mohseni, A. S., & Mostafa, G. B. A. (2012). *The effect of heave plates on hydrodynamic behavior of Amir Kabir semi-submersible platform*. The 10th international conference of coasts, ports and marine structures in Tehran. (In Persian)
- 26- Dardel, M., & Ghafari, H. (2018). *Effects of Buoy size on the frequency and time response in catenary mooring system of the semi - submersible platform*, *Modares Mechanical Engineering*, Vol. 18, No. 0 2, pp. 2 0 9 -21 8, 2018 (in Persian)
- 27- Aamo, O. M., & Fossen, T. I. (2000). *Finite element modelling of mooring lines*. *Mathematics and computers in simulation*, 53(4-6), 415-422. [https://doi.org/10.1016/S0378-4754\(00\)00235-4](https://doi.org/10.1016/S0378-4754(00)00235-4)
- 28- DNV GL. (2017). *SESAM Theory Manual—DeepC Deep Water Coupled Floater Motion Analysis*, Version 5.2-02.
- 29- Ormberg, H., Fylling, I. J., Larsen, K., & Soedahl, N. (1997, April). *Coupled analysis of vessel motions and mooring and riser system dynamics*. In *proceedings of the international conference on offshore mechanics and*